

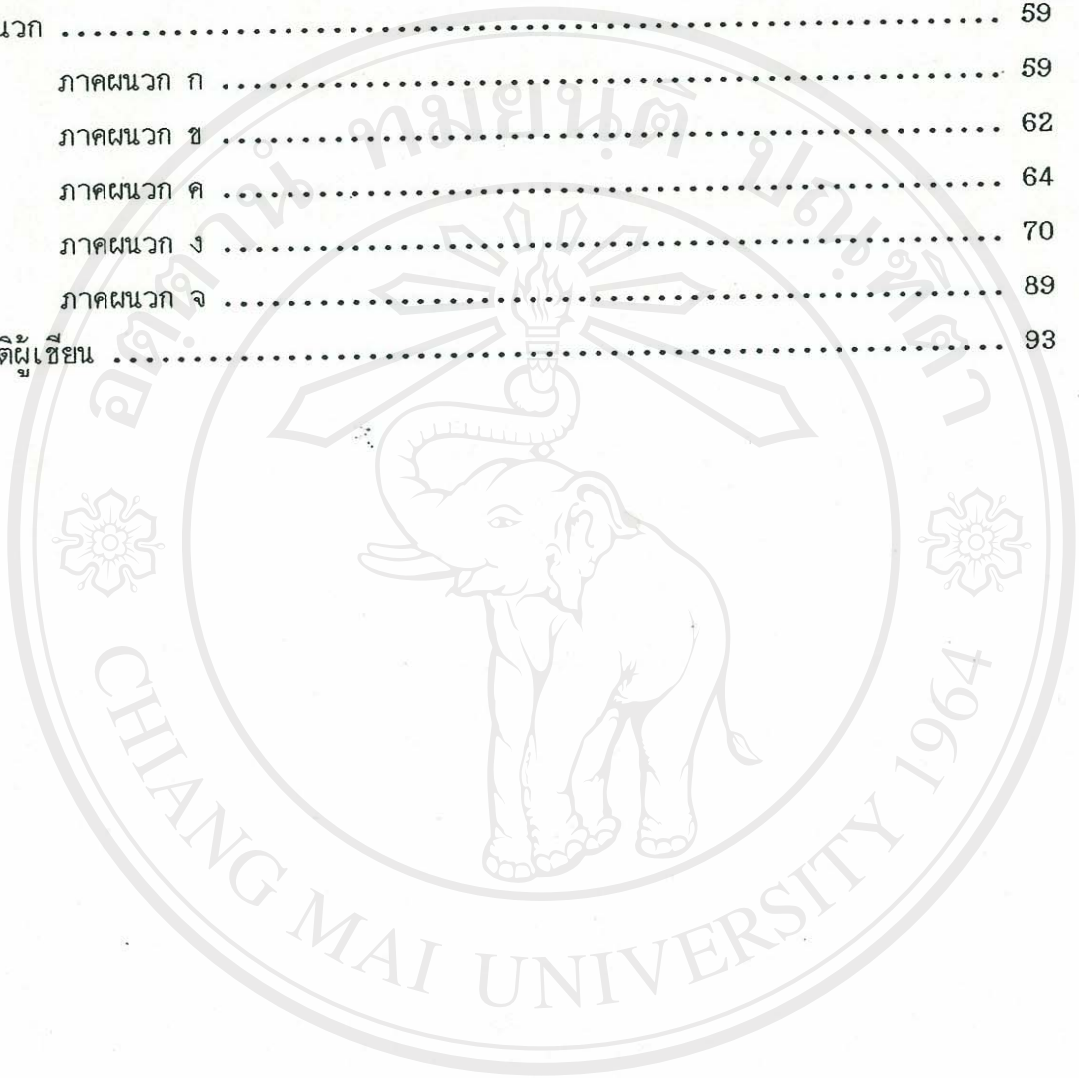
สารบัญ

หน้า

| | |
|---|----|
| กิตติกรรมประกาศ | ๑ |
| บทคัดย่อภาษาไทย | ๕ |
| บทคัดย่อภาษาอังกฤษ | ๖ |
| สารบัญตารางประกอบ | ๘ |
| สารบัญภาพประกอบ | ๙ |
| ลัญลักษณ์ | ๙ |
| บทที่ 1 บทนำ | ๑ |
| 1.1 ที่มาและความสำคัญของปัญหาที่นำเสนอสู่การค้นคว้าวิจัย | ๑ |
| 1.2 วัตถุประสงค์ของการวิจัย | ๑ |
| 1.3 ขอบเขตการวิจัย | ๑ |
| บทที่ 2 งานวิจัยที่เกี่ยวข้อง | ๒ |
| 2.1 การทดสอบอัดตัวระบายน้ำของดินเหนียวโดยวิธีบรรทุกน้ำหนักสากล (Standard increment loading) | ๒ |
| 2.1.1 วิธีทดสอบ | ๒ |
| 2.1.2 การแปลความ | ๒ |
| 2.1.3 อิทธิพลของตัวแปรต่างๆ | ๑๓ |
| 2.2 การทดสอบอัดตัวระบายน้ำภายใต้อัตราความเครียดคงที่ (Constant rate of strain consolidation) | ๑๔ |
| 2.2.1 วิธีทดสอบ | ๑๔ |
| 2.2.2 การแปลความ | ๑๕ |
| 2.2.3 อิทธิพลของตัวแปรต่างๆ | ๑๙ |
| 2.3 คุณลักษณะการอัดตัวได้ของดินเหนียวเชียงใหม่ | ๒๐ |
| บทที่ 3 วิธีดำเนินงานวิจัย | ๒๑ |
| 3.1 การเจาะเก็บตัวอย่าง | ๒๑ |
| 3.2 แผนการทดสอบ | ๒๑ |
| 3.2.1 ทดสอบหาคุณสมบัติชนิดของดิน (Index properties) | ๒๑ |
| 3.2.2 การทดสอบอัดตัวระบายน้ำภายใต้การบรรทุกน้ำหนักสากล | ๒๑ |
| 3.2.3 การทดสอบอัดตัวระบายน้ำภายใต้อัตราความเครียดคงที่ | ๒๑ |

| | | |
|---------|--|----|
| 3.3 | เครื่องมือทดสอบอัดตัวระบายน้ำภายใต้อัตราความเครียดคงที่ | 22 |
| 3.4 | การทำให้ตัวอย่างกลับอ้อมตัว (Back pressure) | 24 |
| 3.5 | วิธีวิเคราะห์ | 28 |
| บทที่ 4 | ผลการค้นคว้าวิจัยและอภิปรายผล | 29 |
| 4.1 | คุณสมบัติชั้นของตัวอย่าง | 29 |
| 4.1.1 | คุณสมบัติชั้นของตัวอย่าง | 29 |
| 4.1.2 | ความแปรปรวนของตัวอย่าง | 30 |
| 4.2 | คุณลักษณะการอัดตัวระบายน้ำภายใต้การบรรทุกน้ำหนักสากล | 32 |
| 4.2.1 | ผลกระทบต่อเลี้น์โค้งการอัดตัวได้ | 32 |
| 4.2.1.1 | อิทธิพลของช่วงเวลาบรรทุกน้ำหนัก (Load increment duration) | 32 |
| 4.2.1.2 | อิทธิพลของการอัดความดันกลับ | 32 |
| 4.2.2 | ผลกระทบต่อค่าสมประสิทธิ์การอัดตัวระบายน้ำ | 32 |
| 4.2.2.1 | อิทธิพลของช่วงเวลาบรรทุกน้ำหนัก (Load increment duration) | 32 |
| 4.2.1.2 | อิทธิพลของการอัดความดันกลับ | 33 |
| 4.3 | คุณลักษณะการอัดตัวระบายน้ำภายใต้การเพิ่มอัตราความเครียดคงที่ | 40 |
| 4.3.1 | เลี้น์โค้งการอัดตัวได้ (Compressibility curve) | 40 |
| 4.3.2 | ค่าล้มประสิทธิ์การอัดตัวระบายน้ำ (Coefficient of consolidation) | 43 |
| 4.3.3 | ความตันน้ำ (Pore water pressure) | 44 |
| 4.4 | เปรียบเทียบระหว่างการทดสอบบรรทุกน้ำหนักสากลกับการทดสอบภายใต้ อัตราความเครียดคงที่ | 45 |
| 4.4.1 | เลี้น์โค้งการอัดตัวได้ (Compressibility curve) | 45 |
| 4.4.2 | ค่าล้มประสิทธิ์การอัดตัวระบายน้ำ (Coefficient of consolidation) | 50 |
| 4.4.3 | สรุป | 50 |
| บทที่ 5 | สรุปผลการวิจัยและข้อเสนอแนะ | 53 |
| 5.1 | บทสรุป | 53 |
| 5.2 | ข้อเสนอแนะ | 54 |

| | |
|-----------------------|----|
| เอกสารอ้างอิง | 55 |
| ภาคผนวก | 59 |
| ภาคผนวก ก | 59 |
| ภาคผนวก ข | 62 |
| ภาคผนวก ค | 64 |
| ภาคผนวก ง | 70 |
| ภาคผนวก จ | 89 |
| ประวัติผู้เขียน | 93 |



ลิขสิทธิ์มหาวิทยาลัยเชียงใหม่
Copyright © by Chiang Mai University
All rights reserved

สารบัญตารางประกอบ

| ตาราง | หน้า |
|--|------|
| 1 ชุดการทดสอบน้ำหนักบรรทุกสากล ^{ชั่วโมง} | 24 |
| 2 ชุดการทดสอบภายในได้อัตราความเครียดคงที่ | 25 |
| 3 แสดงคุณสมบัติชนิดของตัวอย่าง | 29 |
| 4 ความแปรปรวนของตัวอย่างสำหรับการทดสอบการอัดตัวระนาบ ^{นา} ภายในได้การบรรทุกน้ำหนักสากล | 30 |
| 5 ความแปรปรวนของตัวอย่างสำหรับการทดสอบการอัดตัวระนาบ ^{นา} ภายในได้อัตราความเครียดคงที่ | 31 |
| 6 ค่าหน่วยแรงประดิษฐ์ผลลัพธ์สูงสุดที่เคยกระทำต่อจิน | 47 |

จิรศิทธิ์มหาวิทยาลัยเชียงใหม่
Copyright[©] by Chiang Mai University
All rights reserved

สารบัญภาพประกอบ

แผนภูมิ

หน้า

| | |
|---|----|
| 1 วิธีการหา t_{50} ของ Casagrand,A..... | 4 |
| 2 วิธีการหา t_{50} ของ Taylor,D.W. | 5 |
| 3 ระดับการอัดตัวระบายน้ำและอัตราส่วนการอัดตัวระบายน้ำกับแฟคเตอร์เวลา ... | 6 |
| 4 อัตราการอัดตัวระบายน้ำของ Terzaghi,K. และ ผังความเร็วสำหรับการ ทดสอบ Oedometer | 7 |
| 5 การทดสอบตัว-ลากที่สองของเวลา | 8 |
| 6 การทดสอบตัว-ลอกของเวลา | 8 |
| 7 ความล้มเหลวตามสมการการอัดตัวระบายน้ำ ตามทฤษฎีของ Terzaghi,K. | 9 |
| 8 การหา P_c' ตามวิธีของ Casagrande,A. | 10 |
| 9 การสร้างเส้นโค้งโดย Burmister สำหรับหาค่า P_c' | 11 |
| 10 การหา P_c' ตามวิธีการของ Schmertmann สำหรับหาค่า P_c' | 12 |
| 11 แสดงความล้มเหลวระหว่าง $\log(1+e)$ กับ $\log \sigma'$ | 12 |
| 12 ผลของอัตราส่วนเพิ่มน้ำหนักต่อรูปร่างกราฟความล้มเหลวระหว่าง การทดสอบตัว-เวลา | 13 |
| 13 ผลกระทบของอัตราส่วนการเพิ่มน้ำหนักของเส้นโค้ง อัตราส่วนช่วงว่าง- ล็อกความดันประลักษณ์ผล | 14 |
| 14 การเบี่ยงเบนของอัตราความเครียดจากเวลาเฉลี่ย C_v/rH^2 ด้วยฟังก์ชัน ของความลึก | 17 |
| 15 เงื่อนไขของเขตสำหรับการทดสอบ | 18 |
| 16 เครื่องทดสอบกดอัด (Classical Compression Machine) ไม้เดล WF10054 | 23 |
| 17 เครื่องมือ Hydraulically Pressurised Consolidation Cell (ปรับปรุง) | 26 |
| 18 รายละเอียด Constant Strain Rate Oedometer | 27 |
| 19 ผลกระทบอันเนื่องจากช่วงเวลาบรรทุกน้ำหนักของตัวอย่างอัดความดันกลับ | 33 |
| 20 ผลกระทบอันเนื่องจากช่วงเวลาบรรทุกน้ำหนักของตัวอย่าง ไม่อัดความดันกลับ ... | 34 |
| 22 ผลกระทบอันเนื่องจากการอัดความดันกลับ(ช่วงเวลาบรรทุกน้ำหนัก 24 ชั่วโมง). . | 34 |

| | |
|--|----|
| 23 ผลกระทบอันเนื่องจากการอัดความดันกลับ(ช่วงเวลาบรรทุกน้ำหนัก EOP) | 35 |
| 24 ความล้มพังที่เลี้น โคลง อัตราล่วงช่องว่าง-หน่วยแรงดันประลิทธิผล (ช่วงเวลาบรรทุกน้ำหนัก 24 ชั่วโมง) | 35 |
| 25 ความล้มพังที่เลี้น โคลง อัตราล่วงช่องว่าง-หน่วยแรงดันประลิทธิผล (ช่วงเวลาบรรทุกน้ำหนัก EOP) | 36 |
| 26 ผลกระทบอันเนื่องจากการช่วงเวลาบรรทุกน้ำหนักของตัวอย่างอัดความดันกลับ (วิธี Casagrande,A. t_{50}) | 36 |
| 27 ผลกระทบอันเนื่องจากการช่วงเวลาบรรทุกน้ำหนักของตัวอย่างอัดความดันกลับ (วิธี Taylor,D.W. t_{90}) | 37 |
| 28 เปรียบเทียบ C_v โดยวิธีของ Casagrande,A. (t_{50}) กับ Taylor,D.W. (t_{90}) | 37 |
| 29 ผลกระทบอันเนื่องจากการช่วงเวลาบรรทุกน้ำหนักของตัวอย่างไม่อัดความดันกลับ (วิธี Casagrande,A. t_{50}) | 38 |
| 30 ผลกระทบอันเนื่องจากการช่วงเวลาบรรทุกน้ำหนักของตัวอย่างอัดความดันกลับ (วิธี Taylor,D.W. t_{90}) | 38 |
| 31 เปรียบเทียบ C_v โดยวิธีของ Casagrande,A. (t_{50}) กับ Taylor,D.W. (t_{90}) | 39 |
| 32 ความล้มพังระหว่าง การทดสอบตัว-เวลา | 39 |
| 33 ความล้มพังระหว่าง ความดันน้ำส่วนเกิน-การทดสอบตัว | 40 |
| 34 เลี้นโคลงการอัดตัวได้ภายใต้การทดสอบแบบเพิ่มอัตราความเครียดคงที่ | 41 |
| 35 เลี้นโคลงการอัดตัวได้ ภายใต้อัตราความเครียดเปลี่ยนแปลงตั้งแต่ 0.005 มิลลิเมตร ต่อ นาที ไปจนถึง 0.05 มิลลิเมตร ต่อ นาที | 42 |
| 36 เลี้นโคลงการอัดตัวได้ ภายใต้อัตราความเครียด 0.005 มิลลิเมตร ต่อ นาที และ 0.05 มิลลิเมตร ต่อ นาที | 42 |
| 37 อิทธิพลของอัตราความเครียดต่อค่าล้มประลิทธิ์การอัดตัวระยะนาน | 43 |
| 38 ความดันน้ำส่วนเกินภายใต้อัตราความเครียด 0.005 มิลลิเมตร ต่อ นาที ถึง 0.05 มิลลิเมตร ต่อ นาที | 44 |
| 39 เปอร์เซ็นต์ความดันน้ำส่วนเกิน ต่อ หน่วยแรงอัดห้องหมุด ภายใต้อัตราความเครียด 0.005 มิลลิเมตร ต่อ นาที ถึง 0.05 มิลลิเมตร ต่อ นาที | 45 |
| 40 เปรียบเทียบเลี้นโคลงการอัดตัวได้ จากการทดสอบบรรทุกน้ำหนักสากล กับ | |

| | |
|---|----|
| การทดสอบภายในได้อัตราความเครียดคงที่ 0.015 มิลลิเมตร ต่อ นาที | 47 |
| 41 เปรียบเทียบเลี้น โค้งการอัดตัวได้ จากการทดสอบบรรทุกน้ำหนักสากล กับ การทดสอบภายในได้อัตราความเครียดคงที่ 0.015 มิลลิเมตร ต่อ นาที | 47 |
| 42 เปรียบเทียบเลี้น โค้งการอัดตัวได้ จากการทดสอบบรรทุกน้ำหนักสากล กับ การทดสอบภายในได้อัตราความเครียดคงที่ 0.015 มิลลิเมตร ต่อ นาที | 48 |
| 43 หน่วยแรงประลิทธิ์ผลสูงสุดที่เคยกระทำต่อдин โดยวิชี Casagrande,A. จากการบรรทุกน้ำหนักสากล | 48 |
| 44 หน่วยแรงประลิทธิ์ผลสูงสุดที่เคยกระทำต่อдин โดยวิชี Sridharam,A. จากการบรรทุกน้ำหนักสากล | 49 |
| 45 หน่วยแรงประลิทธิ์ผลสูงสุดที่เคยกระทำต่อдин โดยวิชี Casagrande,A. จากการทดสอบภายในได้อัตราความเครียดคงที่ | 49 |
| 46 หน่วยแรงประลิทธิ์ผลสูงสุดที่เคยกระทำต่อdin โดยวิชี Sridharam,A. จากการทดสอบภายในได้อัตราความเครียดคงที่ | 50 |
| 47 เปรียบเทียบค่าล้มประลิทธิ์การอัดตัวระยะน้ำระหัวงวิชี ทดสอบบรรทุกน้ำหนักสากล กับ การทดสอบภายในได้อัตราความเครียดคงที่ | 51 |
| 48 เปรียบเทียบค่าล้มประลิทธิ์การอัดตัวระยะน้ำระหัวงวิชี ทดสอบบรรทุกน้ำหนักสากล กับ การทดสอบภายในได้อัตราความเครียดคงที่ | 51 |
| 48 เปรียบเทียบค่าล้มประลิทธิ์การอัดตัวระยะน้ำระหัวงวิชี ทดสอบบรรทุกน้ำหนักสากล กับ การทดสอบภายในได้อัตราความเครียดคงที่ | 52 |
| 50 เปรียบเทียบค่าล้มประลิทธิ์การอัดตัวระยะน้ำระหัวงวิชี ทดสอบบรรทุกน้ำหนักสากล กับ การทดสอบภายในได้อัตราความเครียดคงที่ | 52 |

สัญลักษณ์

- A = พื้นที่หน้าตัดของตัวอย่าง
- CRS = การทดสอบอัดตัวระบายน้ำภายใต้อัตราความเครียดคงที่ (Constant rate of strain consolidation)
- CV = สัมประสิทธิ์ความแปรปรวน (Coefficient of variation)
- C_v = สัมประสิทธิ์การอัดตัวระบายน้ำ (Coefficient of consolidation)
- e = อัตราส่วนช่องว่าง (Void ratio)
- e_0 = อัตราส่วนช่องว่างเริ่มต้น (Initial void ratio)
- EOP = ลิ้นสุดการระบายน้ำหลัก (End of primary)
- H = ระยะทางไกลลสุดที่น้ำซึมออกสู่ผิวระบายน้ำ
- k = สัมประสิทธิ์ความซึมได้ (Coefficient of permeability)
- m = เลขเดิมหน่วย
- m_v = สัมประสิทธิ์การยุบตัวของปริมาตร
- P_c' = หน่วยแรงประดิษฐ์ผลลัพธ์ที่เคยกระทำต่อใน (Maximum effective precosolidation)
- R = อัตราความเครียด (Strain rate)
- S = ระดับการอึมตัวเริ่มต้น (Initial degree of saturation)
- SSE_x = Sum of square of error of x
- SSE_{xy} = Sum of square of error of x and y
- MSE_y' = Experimental error mean square of y
- MST_{ry}' = Mean square for treatments
- t = เวลาที่เกิดการอัดตัวระบายน้ำ
- u = ความดันน้ำส่วนเกิน (Excess pore-water pressure)
- U_{av} = อัตราส่วนระยะทຽดตัวที่ตัวประกอบเวลา T_v กับระยะทຽดตัวเนื่องจากการอัดตัวระบายน้ำทั้งหมด
- u_b = ความดันน้ำส่วนเกินที่ฐานของตัวอย่าง
- w_n = เปอร์เซ็นต์น้ำในรูมชาติ (Moisture content)
- z = พิกัดในแนวตั้งของจุดที่มีการ量
- γ_z = หน่วยน้ำหนักทั้งหมด (Total unit weight)

| | |
|--|--|
| γ_d | = หน่วยน้ำหนักแห้ง (Dry unit weight) |
| σ | = ความดันรวม (Total pressure) |
| σ' | = ความดันประลักษณ์ผล (Effective pressure) |
| ϵ | = ความเครียดในแนวตั้ง (Vertical strain) |
| การซึมได้ | = Permeability |
| การทรุดตัวต่างระดับ | = Differential settlement |
| การอัดตัวระบายน้ำ | = Consolidation |
| การอัดตัวระบายน้ำหลัก | = Primary consolidation |
| การอัดตัวระบายน้ำรอง | = Secondary consolidation |
| การอัดตัวได้ | = Compressibility |
| การอัดตัวระบายน้ำบรรทุกน้ำหนักสากล | = Standard increment loading consolidation |
| การอัดตัวระบายน้ำภายใต้อัตรา | = Constant rate of strain consolidation |
| ความเครียดคงที่ | = Back pressure |
| การอัดความดันกลับ | = Swell |
| การพองตัว | = Analysis of covariance |
| การวิเคราะห์ความแปรปรวน | = Excess pore-water pressure |
| ความดันน้ำล้วนเกิน | = Coefficient of consolidation |
| ค่าสัมประสิทธิ์การอัดตัวระบายน้ำ | = Index properties |
| คุณสมบัติชนิด | = Recompression |
| ช่วงที่อัดตัวมาก่อนในอดีต | = Virgin compression |
| ช่วงที่ไม่เคยอัดตัวมาก่อนในอดีต | = Primary consolidation |
| ลักษณะการอัดตัวระบายน้ำหลัก | = Secondary consolidation |
| ลักษณะการอัดตัวระบายน้ำรอง | = Compression curve |
| เส้นโค้งการอัดตัวได้ | = Maximum effective preconsolidation |
| หน่วยแรงประลักษณ์ผลสูงสุดที่เคยกระทำต่อดิน | = Time factor |
| ภาวะคงที่ | = Steady state |
| ภาวะการเปลี่ยนแปลง | = Transient state |

ธรณีสัณฐาน

= Land form

พิกัดแอตเตอร์เบอร์ก

= Atterberg limits

พิกัดเหลว

= Liquid limit

พิกัดปืนได.

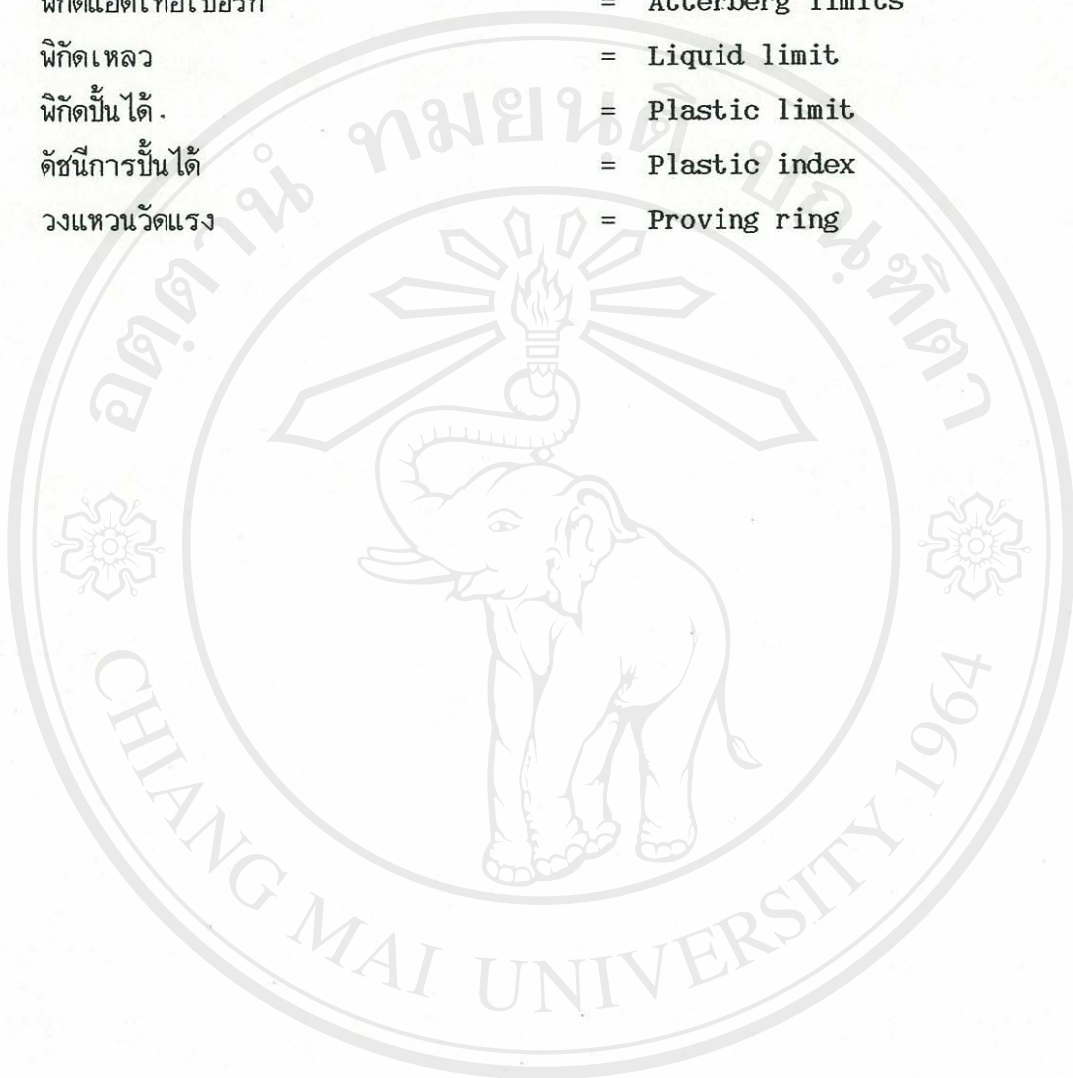
= Plastic limit

ดัชนีการปืนได

= Plastic index

วงแหวนวัดแรง

= Proving ring



ลิขสิทธิ์มหาวิทยาลัยเชียงใหม่

Copyright[©] by Chiang Mai University

All rights reserved